

黄芪甲苷通过抑制 PINK1/Parkin 通路调控细胞线粒体自噬减轻 D-半乳糖诱导的内皮细胞衰老

易明¹, 罗焯², 吴露¹, 吴泽衡³, 蒋翠平¹, 陈史钰³, 柯晓³

¹浏阳市中医医院(湖南中医药大学附属第二中西医结合医院)心内科, 湖南 浏阳 410300; ²北京大学深圳医院心内科, 广东 深圳 518057; ³中国医学科学院阜外医院深圳医院心内科, 广东 深圳 518057

摘要:目的 探究黄芪甲苷(AS-IV)通过 PINK1/Parkin 信号通路, 调控细胞线粒体自噬水平减轻 D-半乳糖(D-GAL)内皮细胞(HUVEC)衰老的作用机制。方法 将体外培养的人脐静脉内皮细胞随机分为 5 组: 空白对照组(NC 组)、D-GAL(40 g/L D-GAL)组、AS-IV(200 μmol/L)组、D-GAL+AS-IV(40 g/L D-GAL+200 μmol/L)组、D-GAL+AS-IV+MTK458(40 g/L D-GAL+200 μmol/L+25 μmol/L)组, 干预 48 h。评估细胞增殖、迁移和血管生成能力; 检测细胞凋亡、活性氧水平、线粒体膜电位, 以及检测自噬相关蛋白(LC3-II/LC3-I)和 PINK1/Parkin 通路蛋白的表达。结果 经 AS-IV 干预后, D-GAL 对 HUVEC 细胞活力的抑制作用显著降低($P<0.05$), AS-IV 有效缓解 D-GAL 诱导的 HUVEC 管状结构形成障碍, 促进血管生成($P<0.05$)、恢复细胞的迁移能力($P<0.05$), D-GAL 诱导的 HUVEC 细胞中衰老相关 β-半乳糖苷酶(SA-β-Gal)染色阳性率也显著降低($P<0.05$), 并抑制衰老相关基因 P21 和 P53 的表达。AS-IV 恢复 D-GAL 诱导的线粒体膜电位, 降低细胞内活性氧水平($P<0.05$); 并抑制 D-GAL 诱导的 HUVEC 细胞中自噬体与溶酶体的融合, 阻止自噬流的完成。当加入线粒体自噬激动剂 MTK458(25 μmol/L)后, 与 D-GAL+AS-IV 组相比, D-GAL+AS-IV+MTK458 组中细胞黄色斑点明显增加($P<0.05$), P21、P53、PINK1、Parkin、LC3、Beclin 等蛋白表达上升($P<0.05$)。结论 AS-IV 通过抑制 PINK1/Parkin 通路调控线粒体自噬, 从而减轻 D-GAL 诱导的内皮细胞衰老。

关键词: 黄芪甲苷; PINK1/Parkin 信号通路; 线粒体自噬; D-半乳糖; 内皮细胞; 细胞衰老

Astragaloside IV alleviates D-GAL-induced endothelial cell senescence by promoting mitochondrial autophagy via inhibiting the PINK1/Parkin pathway

YI Ming¹, LUO Ye², WU Lu¹, WU Zeheng³, JIANG Cuiping¹, CHEN Shiyu³, KE Xiao³

¹Department of Cardiology, Liuyang Hospital of Traditional Chinese Medicine (Second Hospital of Integrated Traditional Chinese and Western Medicine Affiliated to Hunan University of Chinese Medicine), Liuyang 410300, China; ²Department of Cardiology, Peking University Shenzhen Hospital, Shenzhen 518057, China; ³Department of Cardiology, Shenzhen Hospital of Fuwai Hospital, Chinese Academy of Medical Sciences, Shenzhen 518057, China

Abstract: Objective To explore the mechanism by which astragaloside IV (AS-IV) alleviates D-galactose (D-GAL)-induced senescence in human umbilical vein endothelial cells (HUVECs). **Methods** Cultured HUVECs were treated with D-GAL (40 g/L), AS-IV (200 μmol/L), D-GAL+AS-IV, or D-GAL+AS-IV+MTK458 (a mitochondrial autophagy agonist, 25 μmol/L) for 48 h, and the changes in cell proliferation, migration, and angiogenesis capacity were evaluated. Cell apoptosis, reactive oxygen species (ROS) levels, mitochondrial membrane potential, and expressions of autophagy-related proteins (LC3-II/LC3-I) and PINK1/Parkin pathway proteins in the treated cells were detected. **Results** AS-IV treatment significantly reduced the inhibitory effect of D-GAL on HUVEC viability, effectively alleviated D-GAL-induced impairment of tube-forming ability, and promoted angiogenesis and migration ability of the cells. AS-IV also significantly reduced the rate of D-GAL-induced HUVECs positive for senescence-associated β-galactosidase (SA-β-Gal) staining and inhibited the expression of senescence-related genes P21 and P53. AS-IV restored mitochondrial membrane potential and reduced intracellular ROS levels in D-GAL-induced HUVECs, and inhibited the fusion of autophagosomes and lysosomes to prevent the completion of autophagic flux. In HUVECs treated with both D-GAL and AS-IV, the application MTK458 significantly increased the number of yellow spots and enhanced the expressions of P21, P53, PINK1, Parkin, LC3, and Beclin proteins. **Conclusion** AS-IV alleviates D-GAL-induced endothelial cell senescence by inhibiting the PINK1/Parkin pathway to regulate mitochondrial autophagy.

Keywords: astragaloside; PINK1/Parkin signaling pathway; mitochondrial autophagy; D-galactose; endothelial cells; cellular senescence

细胞衰老, 作为生物体老化的核心机制之一, 近年来其作为慢性疾病驱动因素的病理学价值受到深度关

注。内皮细胞衰老在血管老化进程中具有重要作用, 其功能障碍直接参与动脉粥样硬化斑块形成、血管弹性下降及高血压病理重构等关键环节^[1-3]。这些研究强调了细胞衰老不仅是生物体老化的标志, 更是多种慢性疾病的驱动因素。特别是在内皮细胞中, 衰老的内皮细胞呈现线粒体动力学失衡特征, 表现为活性氧(ROS)过度蓄积、线粒体膜电位崩溃及生物发生障碍, 直接影响血管

收稿日期: 2025-05-09

基金项目: 湖南省自然科学基金(2024JJ9572); 深圳市科技计划项目(JCYJ20220531091611026, JCYJ20230807150803007)

作者简介: 易明, 硕士, 主治医师, E-mail: mingming8909@163.com

通信作者: 柯晓, 博士, 主任医师, 硕士生导师, E-mail: xiaokehospital@126.com

的结构和功能,进而促进心血管疾病的发展^[4]。因此,寻找有效干预内皮细胞衰老的策略,对于延缓血管老化和相关疾病的进程具有重要意义。

线粒体自噬是细胞清除受损线粒体的重要途径,对于维持线粒体功能和细胞稳态至关重要^[5]。PINK1/Parkin通路作为核心调控轴,通过PINK1蓄积磷酸化线粒体外膜蛋白,招募Parkin泛素化标记受损线粒体,启动自噬体包裹降解。衰老微环境中,氧化应激致Parkin转位受阻、泛素连接酶活性丧失,引发线粒体功能衰竭与自噬失代偿^[6]。

黄芪甲苷(AS-IV)作为传统中药黄芪的主要活性成分,近年研究发现其可通过抑制PINK1/Parkin或者AMPK/SIRT3轴改善线粒体功能,但具体作用靶点尚未明确^[7,8]。值得注意的是,D-半乳糖(D-GAL)诱导的亚急性衰老模型能精准模拟自然衰老的线粒体代谢表型,其通过半乳糖醇代谢途径产生过氧化氢等自由基,特异性攻击线粒体复合物I,导致mtDNA损伤和呼吸链解耦联,最终导致细胞衰老^[9],但针对线粒体自噬修复的干预研究仍处于空白。

尽管现有研究已证实AS-IV具有调控线粒体自噬潜能,但其对D-GAL诱导HUVEC衰老的具体机制尚未明确。本研究创新性地提出:通过AS-IV干预,能够改善D-GAL诱导的HUVEC细胞衰老现象,并深入探究AS-IV通过抑制PINK1/Parkin通路从而调控线粒体自噬的分子机制,为临床延缓血管衰老及相关疾病提供了实验基础。

1 材料和方法

1.1 细胞株

人脐静脉内皮细胞(HUVEC)采购于上海中桥新舟生物有限公司。

1.2 主要试剂

AS-IV(PERFEMIKER);D-GAL(索莱宝);人脐静脉内皮细胞完全培养基(中桥新舟);细胞衰老 β -半乳糖苷酶染色试剂盒(Beyotime)、CCK-8试剂盒(Abbkine);JC-1试剂盒(翌圣生物);LC3-I/II、P62、Beclin、PINK和Parkin(Proteintech);P21和P53(Invitrogen); β -actin和GAPDH(Abcam)。

1.3 细胞培养及分组

HUVEC培养在含有10%胎牛血清、100 U/mL青霉素和100 mg/mL链霉素的DMEM-F12培养基中,在37℃、5%CO₂培养箱中进行培养。将HUVEC随机分为5组:空白对照组(NC组)、加入40 g/L D-GAL(D-GAL)组、加入200 μ mol/L AS-IV(AS-IV)组、40 g/L D-GAL干预24 h后加入200 μ mol/L的AS-IV继续干预24 h(D-GAL+AS-IV)组,和D-GAL+AS-IV+MTK45

(40 g/L D-GAL+200 μ mol/L+25 μ mol/L)组,干预48 h后收取细胞样本进行实验。

1.4 CCK-8检测细胞增殖

将干预48 h后的各组HUVEC收集重悬接种于96孔板中,每孔加10 μ L CCK-8工作液,孵育3 h后酶标检测仪于450 nm波长处检测吸光值 $A_{450\text{nm}}$ 。

1.5 细胞划痕

将HUVEC细胞(1×10^5 /mL)接种在6孔板中并培养24 h后进行划痕实验,用无菌移液枪枪头垂直于孔板制造细胞划痕,于0和24 h拍照并测算细胞划痕的愈合率(%)。

1.6 β -半乳糖苷酶染色

将HUVEC细胞(1×10^5 /mL)接种在12孔板(3个复孔/组)中培养48 h后,按照空白对照组、AS-IV组、D-GAL组和D-GAL+AS-IV组分组给药。第2天用 β -半乳糖苷酶染色,用荧光显微镜拍摄记录其结果,计算并统计阳性染色率。

1.7 细胞成血管功能检测

先于96孔板中加入50 μ L/孔基质胶,后将干预48 h的各细胞收集重悬接种于胶上,继续孵育3 h后,镜下观察小管直径(mm),取其平均值,评价成管能力。

1.8 Tunel检测细胞凋亡情况

将分组干预后的各组HUVEC采用Tunel检测试剂盒(一步法)参照说明书指示,在样品上加50 μ L TUNEL检测液,37℃避光孵育60 min,孵育完成后在倒置光学显微镜下观察拍照。

1.9 流式细胞仪检测ROS水平

干预48 h的各细胞收集重悬后加入1:1000无血清培养基稀释的ROS荧光探针,间隔混匀,孵育30 min后洗脱未结合的荧光探针,PBS重悬细胞上机进行检测。

1.10 线粒体膜电位检测

JC-1工作液按1:1000用无血清培养基稀释至10 μ mol/L,在6孔板中培养的各细胞加入1 mL JC-1工作液,37℃孵育20 min后用JC-1缓冲液清洗,加入2 mL不含血清培养基后在荧光倒置显微镜下采集图片。

1.11 实时荧光定量PCR

使用快速提取试剂盒提取各组HUVEC细胞RNA,测定RNA的纯度与浓度。随后反转录为cDNA,配制PCR反应体系进行基因扩增及定量检测分析。用2^{- $\Delta\Delta$ CT}法推算各组HUVEC细胞中目标基因的表达。详细操作步骤严格遵循试剂盒说明书,人源的基因引物序列详见表1(上海捷瑞生物工程有限公司)。

1.12 定表达自噬双标慢病毒(mRFP-eGFP-LC3)的构建

HUVEC细胞以 10^5 /皿接种于共聚焦小皿,给予不

表1 qRT-PCR引物序列

Tab.1 Primers sequences for qRT-PCR

Gene	Primer sequences (5'-3')
human-GAPDH	F:GGAGCGAGATCCCTCCAAAAT R:GGCTGTTGTCATACTTCTCATGG
human-TP53 (P53)	F:CAGCACATGACGGAGGTTGT R:TCATCCAAATACTCCACACGC
human-p21	F:TGTCCGTCAGAACCCATGC R:AAAGTCGAAGTTCCATCGCTC
Human-PINK1	F:GCCTCATCGAGAAAAACAGG R:GTCTCGTGCCAACGGGTC
Human-parkin	F:GTGTTTGTGTCAGGTTCAACTCCA R:GAAAATCACACGCAACTGGTC
Human-p62	F:GCACCCCAATGTGATCTGC R:CGCTACACAAGTCGTAGTCTGG
Human-Baclin1	F:CCATGCAGGTGAGCTTCGT R:GAATCTGCGAGAGACACCATC

同处理培养48 h后,根据制造商的说明用 mRFP-EGFP-LC3 慢病毒(海星生物)处理 HUVEC 细胞,于激光共聚焦荧光显微镜下观察红色和绿色 LC3 的荧光点变化,随机选取一个视野下所有细胞进行拍照,分析自噬变化。

1.13 Western blotting 法检测自噬蛋白/衰老标记蛋白表达水平

干预48 h的各组细胞收集提取蛋白,BCA法测蛋白浓度,依次进行电泳、转膜、脱脂奶粉室温封闭;分别孵育一抗 LC3 II / I (1:1000)、P62(1:5000)、Beclin1 (1:1000)、PINK1(1:500)、Parkin(1:1000)及 GAPDH (1:2000)、后孵育兔二抗(1:10 000)。通过 ImageJ 软件对各个条带的灰度值进行比对分析。

1.14 统计学分析

Image J软件用于分析结果图及 Western blotting 结果, GraphPadPrism9.0 软件则用于数据的统计分析及绘图。采用 SPSS26.0 统计软件进行数据分析。计量资料以均数±标准差表示,组间比较采用 one-way ANOVA 分析, $P<0.05$ 为差异有统计学意义。

2 结果

2.1 AS-IV 对 D-GAL 诱导 HUVEC 细胞活力的影响

0~20 g/L 浓度的 D-GAL 对正常 HUVEC 细胞无显著影响,当浓度达到 40 g/L 时,细胞存活率降低($P<0.05$),与 NC 组相比, D-GAL 组细胞活力降低($P<0.05$);经 AS-IV 干预后, D-GAL+AS-IV 组细胞活力升高($P<0.05$,图1)。

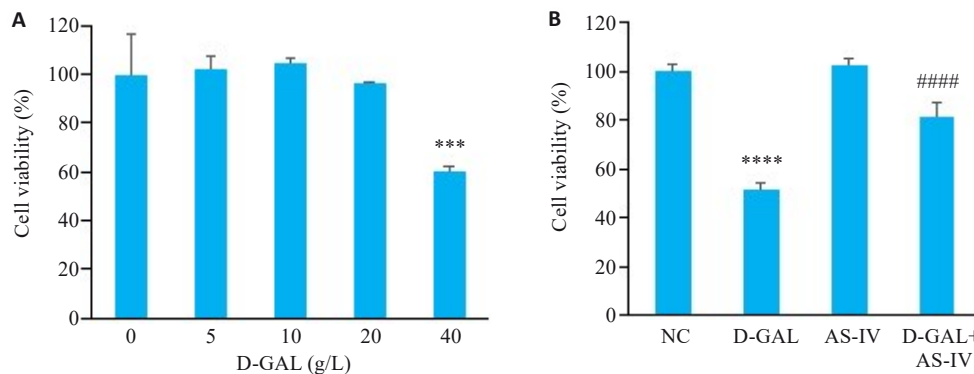


图1 AS-IV对D-GAL诱导HUVEC细胞活力的影响

Fig. 1 Effect of AS-IV on viability of D-GAL-induced human umbilical vein endothelial cells (HUVECs). A: Effect of different concentrations of D-GAL on HUVEC viability. B: Viability of HUVECs with different treatments. *** $P<0.001$, **** $P<0.0001$ vs NC group; #### $P<0.0001$ vs D-gal group.

2.2 AS-IV 对 D-GAL 诱导的 HUVEC 管状结构形成能力的影响

与 NC 组相比, D-GAL 组管腔长度显著缩短、分支点数减少, HUVEC 细胞的管状结构形成能力受到抑制($P<0.05$),但是,经 AS-IV 干预后, D-GAL+AS-IV 组管腔长度和分支点数显著增加, HUVEC 细胞的管状结构形成能力增强($P<0.05$,图2)。

2.3 AS-IV 对 D-GAL 诱导的 HUVEC 细胞迁移能力影响

与 NC 组相比, D-GAL 组细胞迁移能力受到显著抑

制,伤口愈合率在 24 h 低于 NC 组($P<0.05$)。经 AS-IV 干预后, D-GAL+AS-IV 组划痕愈合率在 24 h 提高($P<0.05$,图3)。

2.4 AS-IV 对 D-GAL 诱导的 HUVEC 细胞半乳糖染色阳性率影响

与 NC 组相比, D-GAL 组大量细胞呈现明显的蓝色染色,阳性细胞百分比高于 NC 组($P<0.05$)。经 AS-IV 干预后, D-GAL+AS-IV 组阳性细胞百分比降低($P<0.05$,图4)。

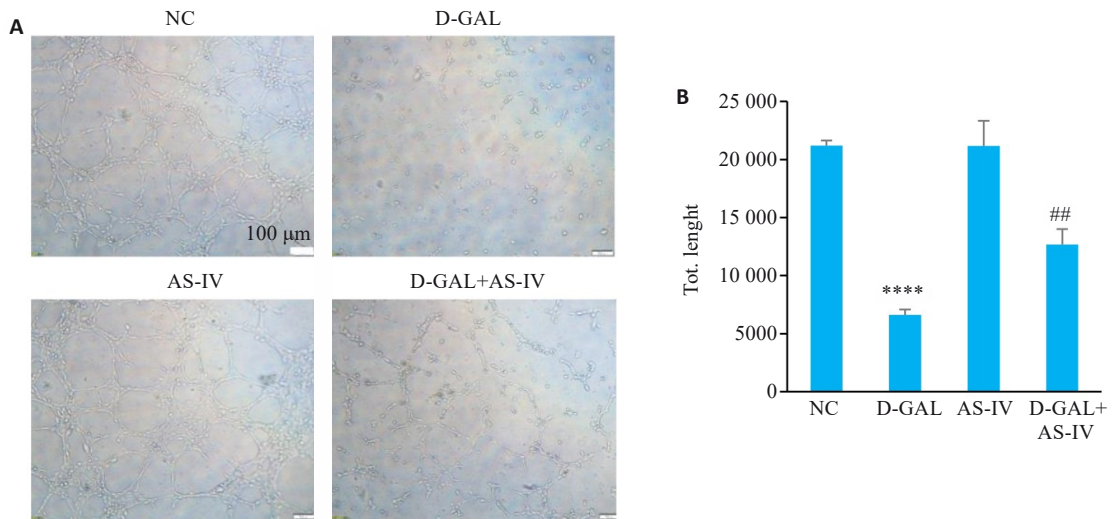


图2 AS-IV对D-GAL诱导的HUVEC管状结构形成能力的影响

Fig.2 Effect of AS-IV on tube formation ability of HUVEC induced by D-GAL. A: Tubule formation assay images of HUVEC cells after treatment with various groups. B: Statistical graph of the tubule formation assay (Scale bar=100 μm), *****P*<0.0001 vs NC group, ***P*<0.01 vs D-GAL group.

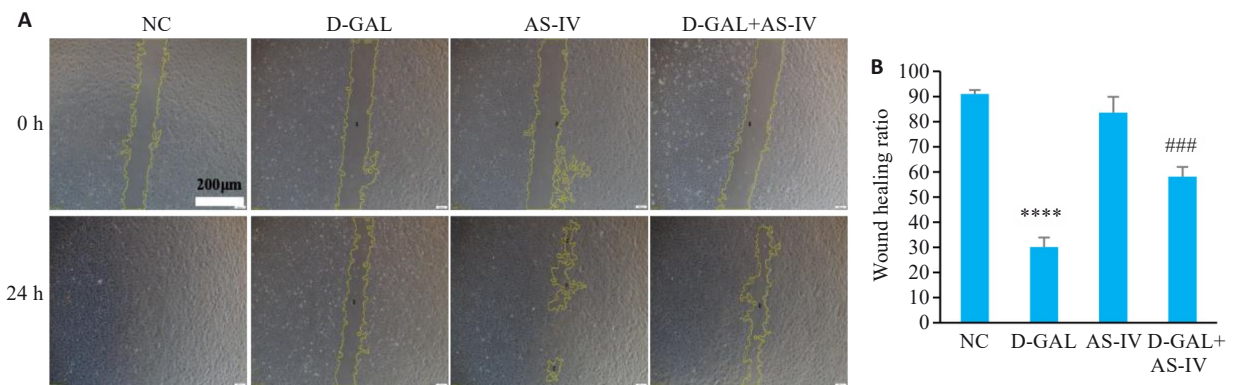


图3 AS-IV对D-GAL诱导的HUVEC细胞迁移能力影响

Fig.3 Effect of AS-IV on migration ability of D-GAL-induced HUVECs. A: Observation of migration of HUVECs after different treatments (Scale bar=200 μm). B: Wound healing rates of HUVECs with different treatments. *****P*<0.0001 vs NC group; ###*P*<0.001 vs D-GAL group.

2.5 AS-IV对D-GAL诱导的HUVEC细胞中P21和P53的表达影响

与NC组相比,D-GAL组P21和P53的mRNA及蛋白表达水平上调(*P*<0.05),经AS-IV干预后,D-GAL+AS-IV组的mRNA及蛋白表达水平下调(*P*<0.05,图5)。

2.6 AS-IV对D-GAL诱导的HUVEC细胞中线粒体膜电位影响

与NC组相比,D-GAL组JC-1染色显示绿光荧光强度增加(*P*<0.05),表明线粒体膜电位下降(*P*<0.05),经AS-IV干预后,D-GAL+AS-IV组的绿光荧光强度降低(*P*<0.05,图6)。

2.7 AS-IV对D-GAL诱导的HUVEC细胞中ROS阳性细胞百分比影响

与NC组相比,D-GAL组细胞内ROS水平显著升高,ROS阳性细胞百分比高于NC组(*P*<0.05),经AS-IV干预后,D-GAL+AS-IV组的ROS阳性细胞百分

比降低(*P*<0.05,图7)。

2.8 AS-IV对D-GAL诱导的HUVEC细胞中自噬情况的影响

通过荧光显微镜观察mRFP(红色荧光)和GFP(绿色荧光)标记的LC3蛋白分布(图8)显示,与NC组相比,D-GAL组细胞中黄色斑点增加(*P*<0.05),表明自噬流呈现上升趋势,经AS-IV干预后,D-GAL+AS-IV组的黄色斑点减少(*P*<0.05)。

2.9 AS-IV对D-GAL诱导的HUVEC细胞中PINK1/Parkin通路及细胞自噬相关蛋白表达的影响

与NC组相比,D-GAL组P62 mRNA及蛋白表达水平显著下调(*P*<0.05),而LC3 II/I蛋白、Beclin、PINK和Parkin的mRNA及蛋白表达水平显著上调(*P*<0.05),经AS-IV干预后,D-GAL+AS-IV组的P62 mRNA及蛋白表达水平显著上调(*P*<0.05),而LC3 II/I蛋白、Beclin、PINK和Parkin的mRNA及蛋白表达水平显著下调(*P*<0.05,图9)。

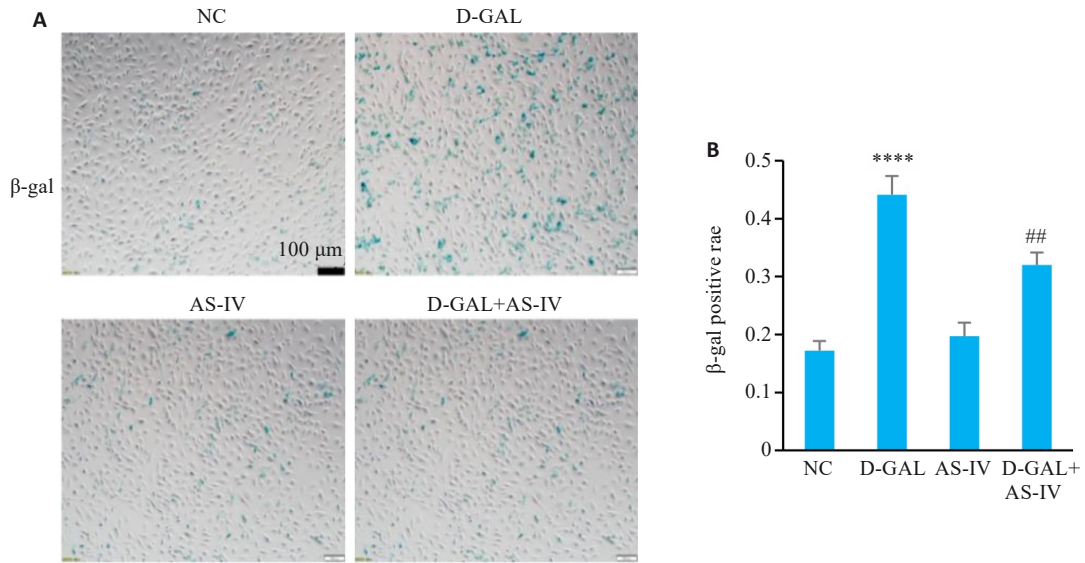


图4 AS-IV对D-GAL诱导的HUVEC细胞半乳糖染色阳性率影响

Fig. 4 Effect of AS-IV on SA-β-Gal staining positivity rate in D-GAL-induced HUVECs. **A:** SA-β-Gal staining of HUVEC cells with different treatments (Scale bar=100 μm). **B:** SA-β-Gal staining positive rates of the cells. **** $P < 0.0001$ vs NC group; ## $P < 0.01$ vs D-GAL group.

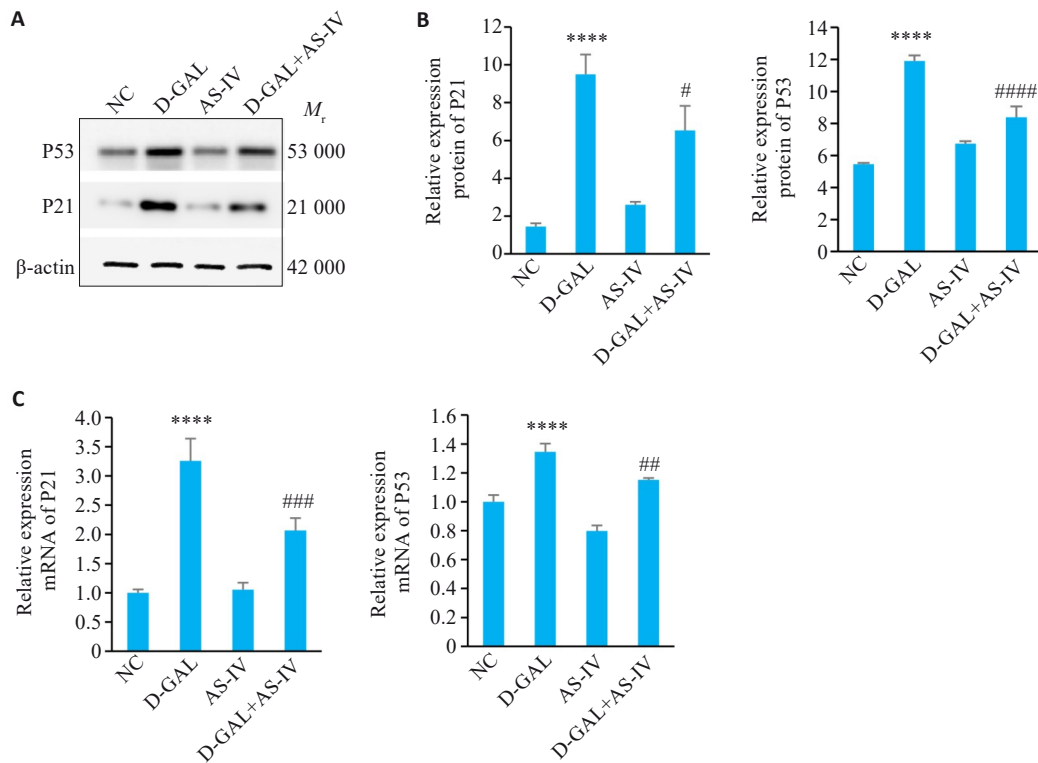


图5 AS-IV对D-GAL诱导的HUVEC细胞中P21和P53的表达影响

Fig. 5 Effect of AS-IV on the Expression of P21 and P53 in D-GAL-Induced HUVEC Cells. **A:** Protein band diagram of P53 and P21 in four groups of cells. **B, C:** Statistical graph of P21 and P53 gene and protein expression. **** $P < 0.0001$ vs NC group; # $P < 0.05$, ## $P < 0.01$, ### $P < 0.001$, **** $P < 0.0001$ vs D-GAL group.

2.10 MTK458对D-GAL诱导的HUVEC细胞中自噬体与溶酶体的融合及自噬流的影响

与 D-GAL+AS-IV 组相比，D-GAL+AS-IV+MTK458组细胞中黄色斑点明显增多($P < 0.05$,图10)。

2.11 MTK458对D-GAL诱导的HUVEC细胞中PINK1/Parkin通路及细胞衰老、自噬相关蛋白表达的影响

与 D-GAL+AS-IV 组相比，D-GAL+AS-IV+MTK458组 P62 mRNA 及蛋白表达水平显著下调

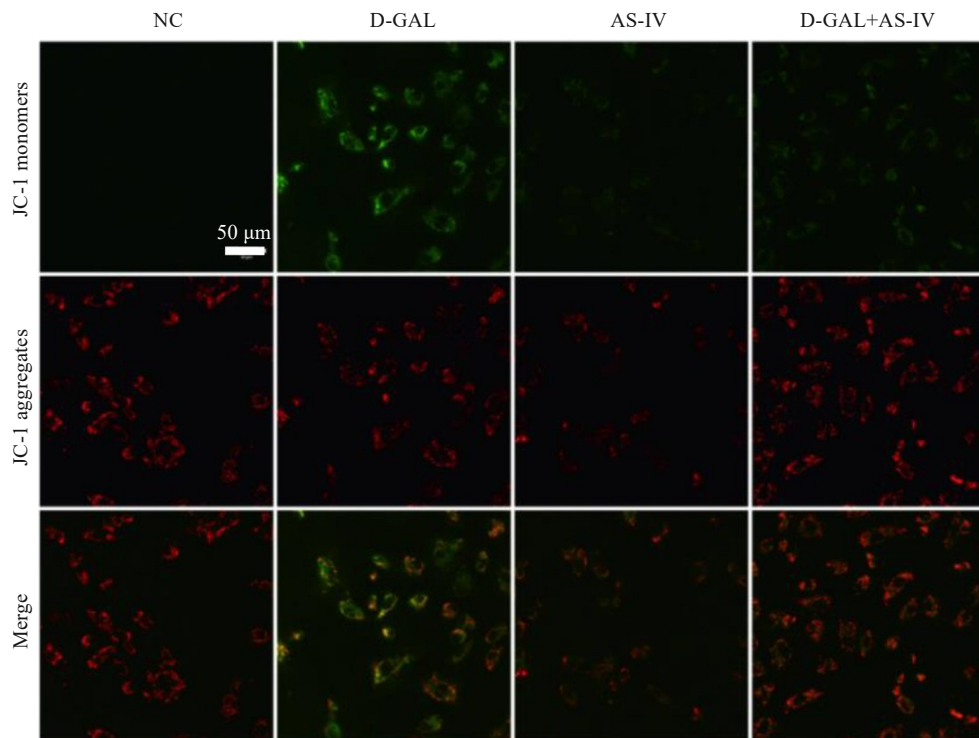


图6 AS-IV对D-GAL诱导的HUVEC细胞中线粒体膜电位影响
 Fig.6 Effect of AS-IV on mitochondrial membrane potential in D-GAL-induced HUVECs (Scale bar= 50 μm).

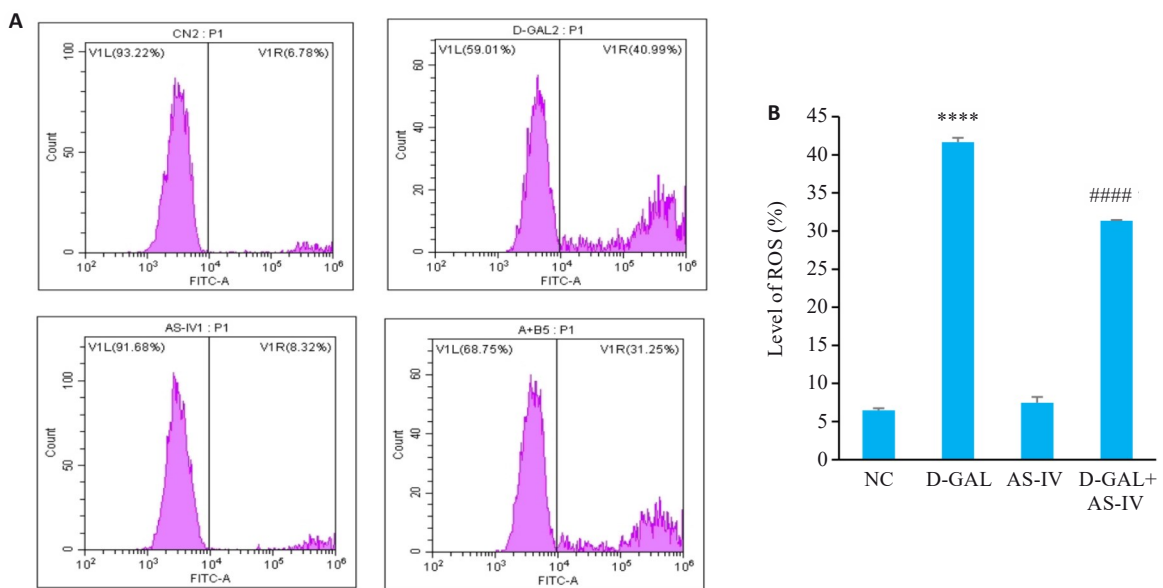


图7 AS-IV对D-GAL诱导的HUVEC细胞中ROS阳性细胞百分比影响
 Fig.7 Effect of AS-IV on percentage of ROS-positive HUVECs induced by D-GAL. **A:** ROS levels in HUVEC cells with different treatments. **B:** Statistical graph of ROS levels. **** $P < 0.0001$ vs NC group; #### $P < 0.0001$ vs D-gal group.

($P < 0.05$), 而P21、P53、LC3 II / I 蛋白、Beclin、PINK 和 Parkin 的 mRNA 及蛋白表达水平显著上调($P < 0.05$, 图 11)。

3 讨论

内皮细胞衰老作为血管老化的核心病理环节,不仅是机体衰老进程的关键表征,更是动脉粥样硬化、高血

压等重大心血管疾病发生发展的核心驱动因素^[10-12]。D-GAL作为一种经典的衰老诱导剂,其通过非酶促糖基化反应生成大量ROS,ROS具有强氧化性,可攻击线粒体,导致线粒体氧化应激,使线粒体膜电位改变、呼吸链功能受损。同时,ROS还会引发内膜脂质过氧化,破坏细胞膜的完整性和流动性。这些变化进一步激活p53/p21信号通路,p53作为转录因子,可上调p21的表

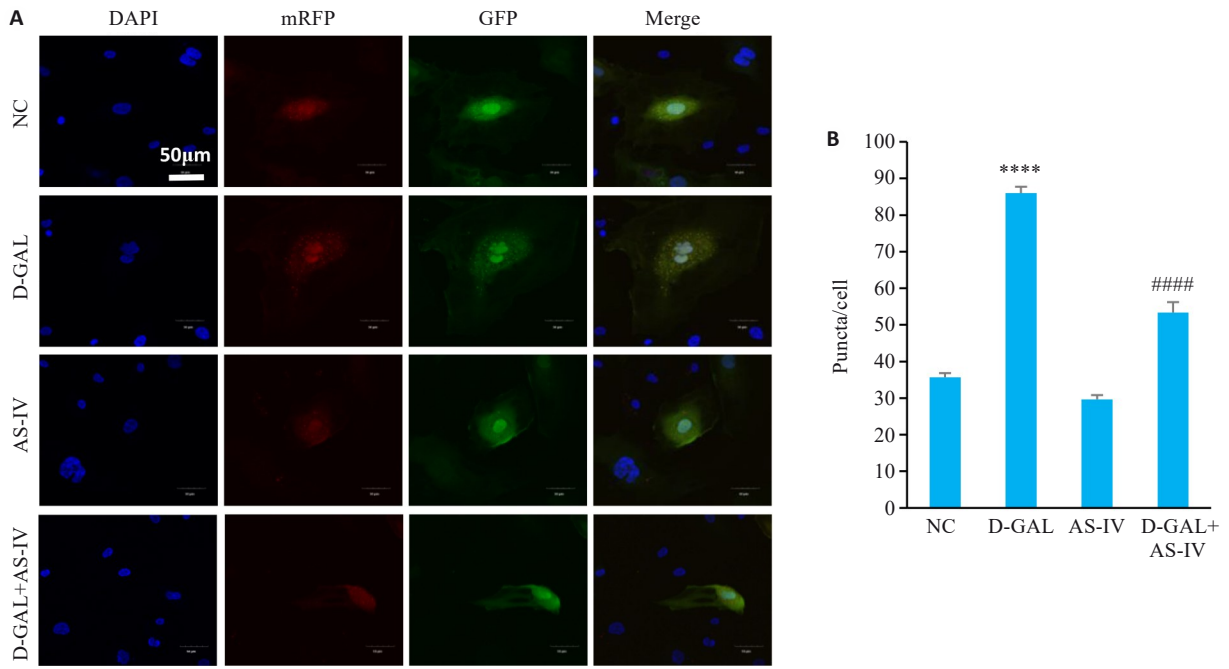


图8 AS-IV对D-GAL诱导的HUVEC细胞中自噬体与溶酶体的融合及自噬流的影响

Fig.8 Effect of AS-IV on autophagosome-lysosome fusion and autophagy flux in D-GAL-induced HUVECs. **A:** Autophagy flux assay of HUVECs with different treatments (Scale bar=50 μ m). **B:** Statistical graph of puncta counts. **** P <0.0001 vs control group; #### P <0.0001 vs D-GAL group.

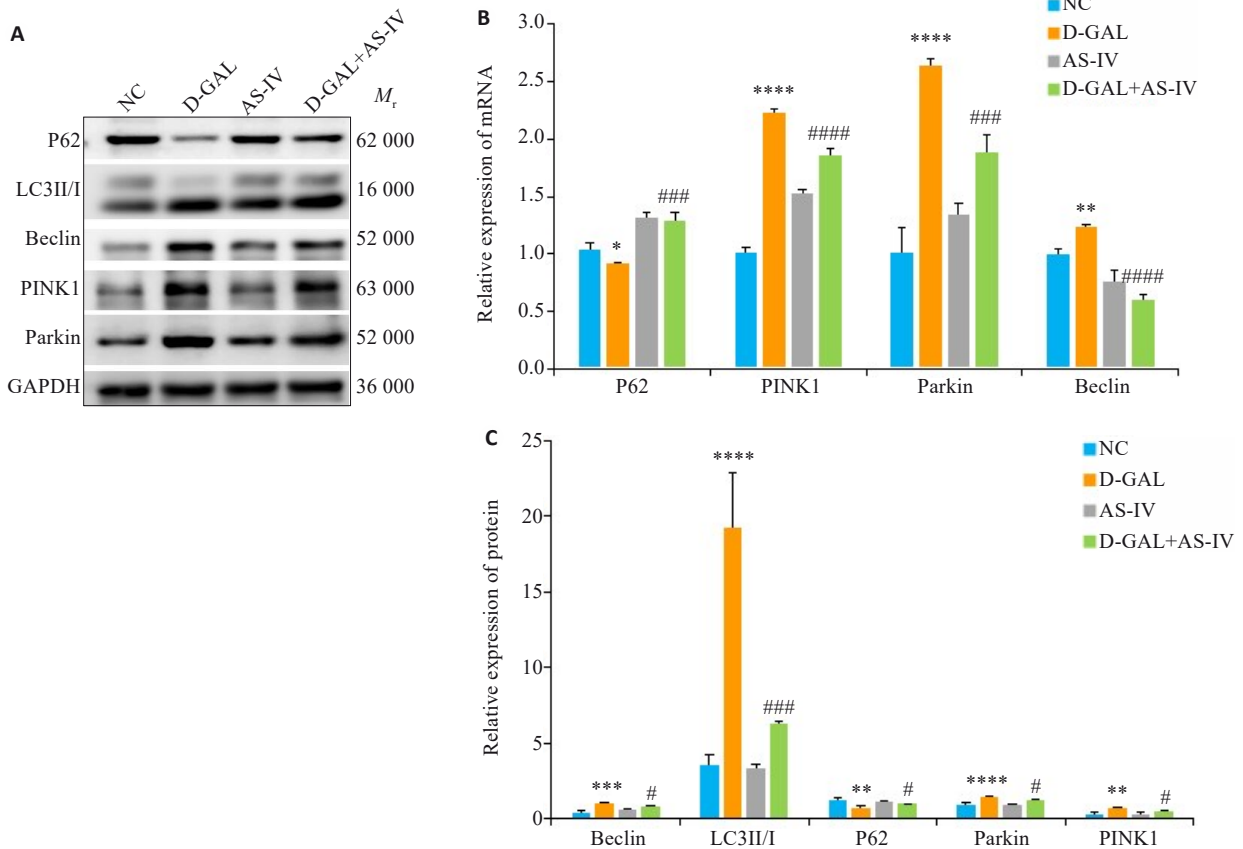


图9 AS-IV对D-GAL诱导的HUVEC细胞中PINK1/Parkin通路及细胞自噬相关蛋白表达的影响

Fig.9 Effect of AS-IV on expression of PINK1/Parkin pathway and autophagy-related proteins in D-GAL-induced HUVECs. **A:** Protein bands of P62, LC3II/I, Beclin, PINK1, and Parkin in the 4 groups. **B:** Relative mRNA expressions of P62, Beclin, PINK, and Parkin. **C:** Statistical graph of grayscale values of the protein bands of P62, LC3II/I, Beclin, PINK1, and Parkin. * P <0.05, ** P <0.01, *** P <0.001, **** P <0.0001 vs NC group; # P <0.05, ### P <0.001, #### P <0.0001 vs D-gal group.

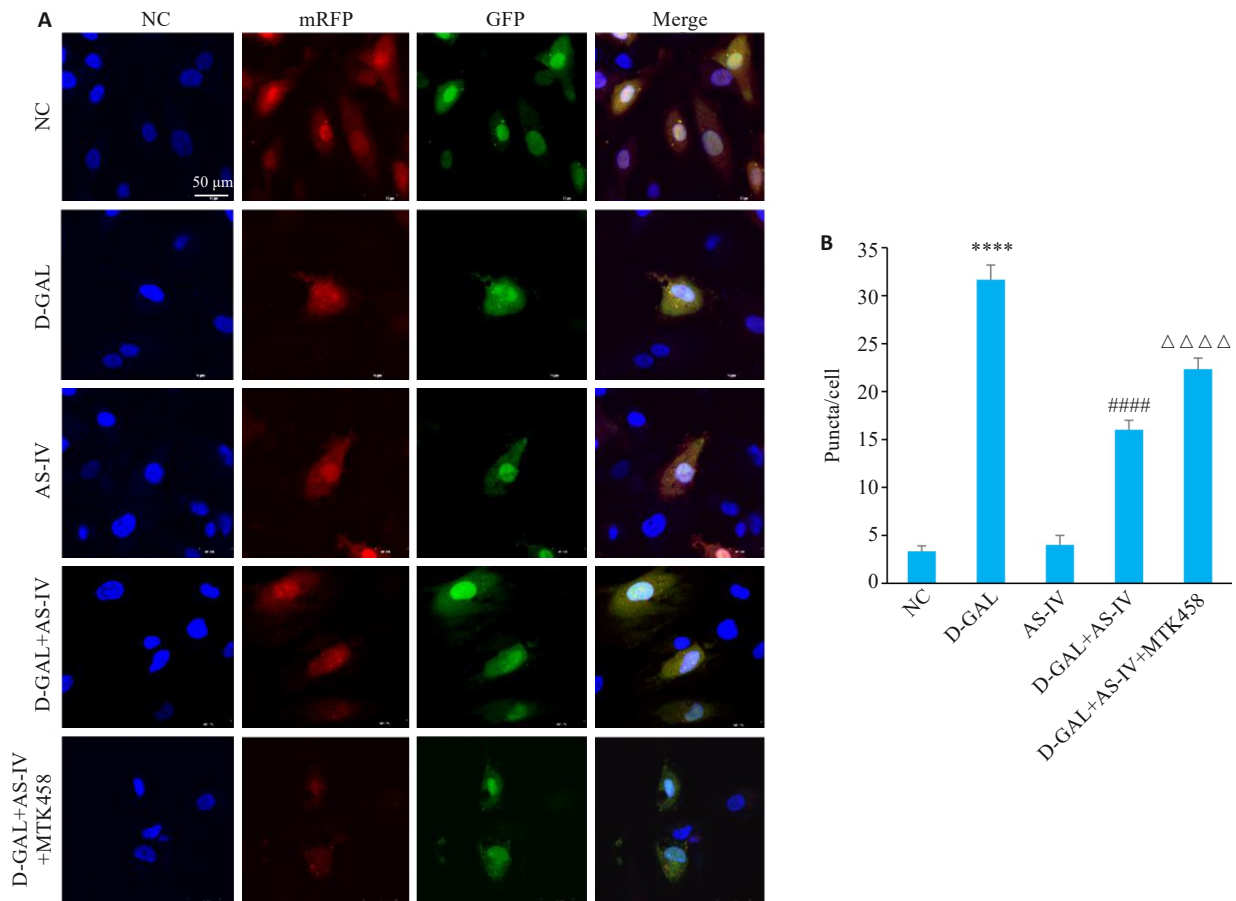


图 10 MTK458对D-GAL诱导的HUVEC细胞中自噬体与溶酶体的融合及自噬流的影响

Fig.10 Effect of MTK458 on autophagosome-lysosome fusion and autophagy flux in D-GAL-induced HUVECs. **A:** Autophagy flux assay of HUVECs with different treatments (Scale bar=50 μ m). **B:** Statistical graph of puncta counts. **** P <0.0001 vs NC group; #### P <0.0001 vs D-gal group; △△△△ P <0.0001 vs D-gal+AS-IV group.

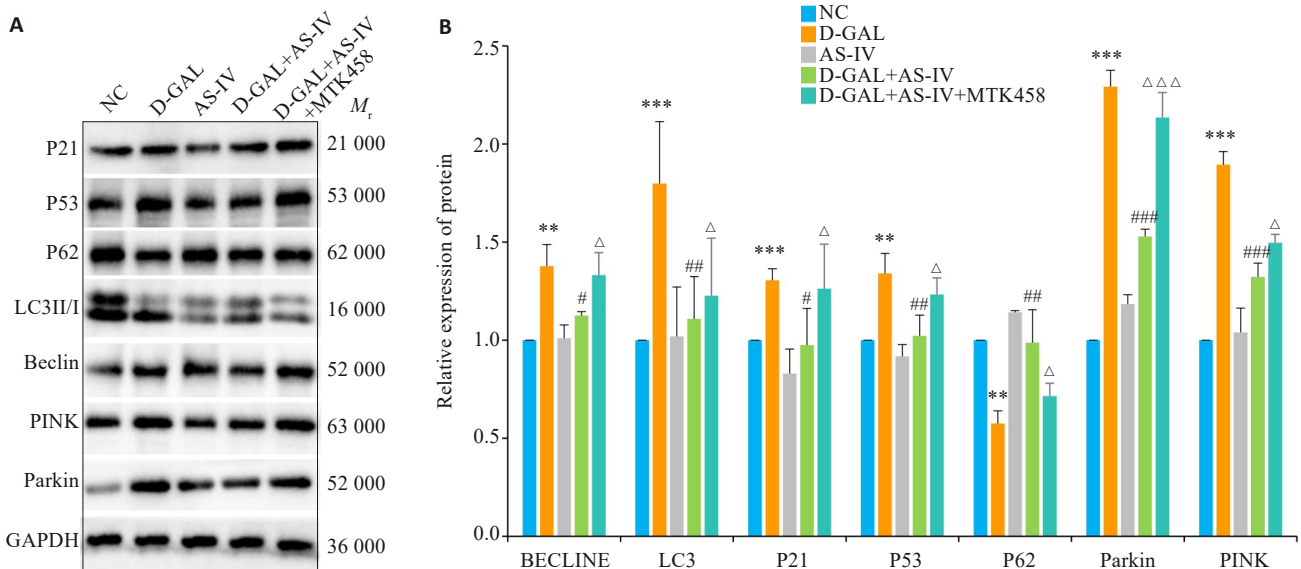


图 11 MTK458对D-GAL诱导的HUVEC细胞中PINK1/Parkin通路及细胞衰老、自噬相关蛋白表达的影响

Fig. 11 Effect of MTK458 on the PINK1/Parkin pathway and expressions of proteins related to cellular senescence and autophagy in D-GAL-induced HUVECs. **A:** Protein bands in the 5 groups of cells. **B:** Statistical graph of grayscale values of the protein bands. ** P <0.01, *** P <0.001 vs NC group; * P <0.05, ** P <0.01, *** P <0.001 vs D-gal group; △ P <0.05, △△△ P <0.001 vs D-gal+AS-IV group.

达,p21通过抑制细胞周期蛋白依赖性激酶,使细胞周期停滞在G1期,最终诱导细胞呈现衰老表型^[13,14]。本研究中,D-GAL处理显著降低了HUVEC细胞活力、抑制血管生成能力、削弱迁移能力,并伴随衰老相关 β -半乳糖苷酶(SA- β -Gal)阳性率升高及衰老相关基因(P21、P53)表达上调。这些结果与D-半乳糖诱导衰老的经典机制一致,说明本实验模型构建成功。

AS-IV作为传统中药黄芪的主要活性成分,其抗氧化、抗炎和抗衰老作用已被广泛研究^[15,16]。AS-IV可通过清除自由基、抑制脂质过氧化以及激活抗氧化酶来减轻氧化应激损伤,同时调节免疫反应,减轻炎症对细胞的损伤^[17,18]。近年来,AS-IV在调节细胞自噬和线粒体功能方面的作用逐渐受到关注^[19-21]。本研究中,AS-IV干预后,D-GAL诱导的HUVEC细胞衰老表型得到显著逆转,包括细胞活力恢复、血管生成能力增强、迁移能力改善以及SA- β -Gal阳性率下降。这些结果与AS-IV的抗氧化和抗炎作用密切相关^[22]。AS-IV可能通过减轻氧化应激和炎症反应,改善细胞内环境,从而逆转细胞衰老。

线粒体自噬是细胞维持自身稳态的重要机制,通过自噬溶酶体机制选择性清除受损线粒体,对于维持线粒体质量和细胞功能至关重要^[23,24]。本研究中,D-GAL处理导致线粒体膜电位下降,细胞内ROS水平升高,并伴随自噬体与溶酶体的融合,自噬流增加。这一现象与D-半乳糖诱导的线粒体功能障碍和自噬机制相符^[25,26]。D-半乳糖可通过降低线粒体生物发生关键蛋白(如PGC-1 α)的表达,阻碍线粒体新生和稳态^[27,28]。AS-IV干预后,线粒体膜电位恢复、ROS水平降低,并伴随自噬体与溶酶体分离,表明自噬流受到抑制。这一结果与AS-IV抑制线粒体自噬的作用一致^[29]。AS-IV可能通过调节相关信号通路,改善线粒体功能,抑制自噬体与溶酶体的融合,阻止自噬流。

PINK1/Parkin通路作为线粒体自噬的核心调控枢纽,其动态平衡对维持线粒体稳态至关重要^[30,31]。在正常情况下,PINK1在线粒体内膜上被切割并清除;当线粒体受损时,PINK1在线粒体外膜上积累并招募Parkin,进而激活线粒体自噬^[32,33]。本研究中,D-GAL处理后PINK1和Parkin的mRNA及蛋白表达水平显著上调,表明PINK1/Parkin通路被激活。AS-IV干预后,PINK1和Parkin的表达水平恢复正常。这一机制与AS-IV的抗氧化和抗炎作用相互协同,共同减轻D-GAL诱导的细胞衰老^[34,35]。加入线粒体自噬激动剂MTK458后,促进D-GAL诱导的HUVEC细胞自噬体与溶酶体的融合,促进自噬流的完成,PINK1/Parkin通路、细胞衰老相关蛋白、自噬相关蛋白表达均上升。证明AS-IV减轻D-GAL诱导的内皮细胞衰老,与PINK1/

Parkin通路调控线粒体自噬有关。

AS-IV作为黄芪的主要活性成分,具有来源广泛、安全性高、副作用小等优点。目前,AS-IV已用于多种疾病的治疗,如心血管疾病、糖尿病及其并发症等^[36,37]。本研究结果揭示了AS-IV通过抑制PINK1/Parkin通路调控线粒体自噬的抗衰老机制,为AS-IV的临床应用提供了实验基础和理论依据。本研究表明,AS-IV还具有显著的抗衰老作用,可望用于延缓血管衰老及相关疾病的发生发展。

然而,本研究仍存在一定局限性。首先,研究仅在细胞层面进行,未涉及动物或人体实验,AS-IV在整体动物模型中的效果尚待验证。其次,PINK1/Parkin通路与其他信号通路(如mTOR、AMPK)的交互作用尚未明确,这些信号通路之间可能存在复杂的网络调控关系,共同影响细胞衰老和线粒体自噬。最后,AS-IV的剂量效应关系及长期安全性需进一步探索,不同剂量可能产生不同的效果,长期使用是否会产生不良反应也不清楚。未来研究可构建动物衰老模型,为AS-IV的广泛应用提供更坚实的理论基础和临床依据。

Declaration of interests: The authors declare no competing interests.

参考文献:

- [1] Campisi J, Andersen JK, Kapahi P, et al. Cellular senescence: a link between cancer and age-related degenerative disease[J]? *Semin Cancer Biol*, 2011, 21(6): 354-9.
- [2] Minamino T, Miyauchi H, Yoshida T, et al. Endothelial cell senescence in human atherosclerosis: role of telomere in endothelial dysfunction[J]. *Circulation*, 2002, 105(13): 1541-4.
- [3] Bu LL, Yuan HH, Xie LL, et al. New dawn for atherosclerosis: vascular endothelial cell senescence and death[J]. *Int J Mol Sci*, 2023, 24(20): 15160.
- [4] Bloom SI, Islam MT, Lesniewski LA, et al. Mechanisms and consequences of endothelial cell senescence[J]. *Nat Rev Cardiol*, 2023, 20(1): 38-51.
- [5] Li AQ, Gao M, Liu BL, et al. Mitochondrial autophagy: molecular mechanisms and implications for cardiovascular disease[J]. *Cell Death Dis*, 2022, 13(5): 444.
- [6] Narendra DP, Youle RJ. The role of PINK1-Parkin in mitochondrial quality control[J]. *Nat Cell Biol*, 2024, 26(10): 1639-51.
- [7] 齐苗苗. 黄芪甲苷通过PINK1/Parkin介导线粒体自噬改善心肌细胞氧化应激损伤的研究[D]. 兰州: 兰州大学, 2021.
- [8] Yi SL, Zheng B, Zhu Y, et al. Melatonin ameliorates excessive PINK1/Parkin-mediated mitophagy by enhancing SIRT1 expression in granulosa cells of PCOS[J]. *Am J Physiol Endocrinol Metab*, 2020, 319(1): E91-E101.
- [9] Sun KY, Yang PY, Zhao R, et al. Matrine attenuates D-galactose-induced aging-related behavior in mice *via* inhibition of cellular senescence and oxidative stress[J]. *Oxid Med Cell Longev*, 2018, 2018: 7108604.
- [10] Zeng M, He YL, Yang YL, et al. Mesenchymal stem cell-derived

- extracellular vesicles relieve endothelial cell senescence *via* recovering CTRP9 upon repressing miR-674-5p in atherosclerosis [J]. *Regen Ther*, 2024, 27: 354-64.
- [11] Chu QQ, Li YJ, Wu JC, et al. Oxysterol sensing through GPR183 triggers endothelial senescence in hypertension [J]. *Circ Res*, 2024, 135(7): 708-21.
- [12] Liu MM, Wang DN, Qi CY, et al. Brain ischemia causes systemic Notch1 activity in endothelial cells to drive atherosclerosis [J]. *Immunity*, 2024, 57(9): 2157-72. e7.
- [13] Wang SS, Zhang X, Ke ZZ, et al. D-galactose-induced cardiac ageing: a review of model establishment and potential interventions [J]. *J Cell Mol Med*, 2022, 26(21): 5335-59.
- [14] Kumari R, Jat P. Mechanisms of cellular senescence: cell cycle arrest and senescence associated secretory phenotype [J]. *Front Cell Dev Biol*, 2021, 9: 645593.
- [15] Zhang WJ, Frei B. Astragaloside IV inhibits NF- κ B activation and inflammatory gene expression in LPS-treated mice [J]. *Mediators Inflamm*, 2015, 2015: 274314.
- [16] Xu CH, Tang FT, Lu ML, et al. Pretreatment with Astragaloside IV protects human umbilical vein endothelial cells from hydrogen peroxide induced oxidative stress and cell dysfunction *via* inhibiting *ENOS* uncoupling and NADPH oxidase-ROS-NF- κ B pathway [J]. *Can J Physiol Pharmacol*, 2016, 94(11): 1132-40.
- [17] Sun YX, Ma YH, Sun FY, et al. Astragaloside IV attenuates lipopolysaccharide induced liver injury by modulating Nrf2-mediated oxidative stress and NLRP3-mediated inflammation [J]. *Heliyon*, 2023, 9(4): e15436.
- [18] Xiao XL, Zheng YL, Mo Y, et al. Astragaloside IV alleviates oxidative stress-related damage *via* inhibiting NLRP3 inflammasome in a MAPK signaling dependent pathway in human lens epithelial cells [J]. *Drug Dev Res*, 2022, 83(4): 1016-23.
- [19] Qu CY, Tan XY, Hu QC, et al. A systematic review of astragaloside IV effects on animal models of diabetes mellitus and its complications [J]. *Heliyon*, 2024, 10(5): e26863.
- [20] Cheng SY, Zhang XX, Feng Q, et al. Astragaloside IV exerts angiogenesis and cardioprotection after myocardial infarction *via* regulating PTEN/PI3K/Akt signaling pathway [J]. *Life Sci*, 2019, 227: 82-93.
- [21] Shen Q, Fang J, Guo HJ, et al. Astragaloside IV attenuates podocyte apoptosis through ameliorating mitochondrial dysfunction by up-regulated Nrf2-ARE/TFAM signaling in diabetic kidney disease [J]. *Free Radic Biol Med*, 2023, 203: 45-57.
- [22] Liang YT, Chen BQ, Liang D, et al. Pharmacological effects of astragaloside IV: a review [J]. *Molecules*, 2023, 28(16): 6118.
- [23] Wang SL, Long HJ, Hou LJ, et al. The mitophagy pathway and its implications in human diseases [J]. *Signal Transduct Target Ther*, 2023, 8(1): 304.
- [24] Ajoolabady A, Chiong M, Lavandero S, et al. Mitophagy in cardiovascular diseases: molecular mechanisms, pathogenesis, and treatment [J]. *Trends Mol Med*, 2022, 28(10): 836-49.
- [25] Xue A, Zhao DP, Zhao CY, et al. Study on the neuroprotective effect of Zhimu-Huangbo extract on mitochondrial dysfunction in HT22 cells induced by D-galactose by promoting mitochondrial autophagy [J]. *J Ethnopharmacol*, 2024, 318: 117012.
- [26] Zhou XH, Tan BW, Gui WW, et al. IGF2 deficiency promotes liver aging through mitochondrial dysfunction and upregulated CEBPB signaling in D-galactose-induced aging mice [J]. *Mol Med*, 2023, 29(1): 161.
- [27] Li H, Guan KF, Wang RC, et al. Synergistic effects of MFG-E8 and whey protein on mitigating d-galactose-induced sarcopenia through PI3K/AKT/PGC-1 α and MAPK/ERK signaling pathways [J]. *J Dairy Sci*, 2024, 107(1): 9-23.
- [28] Yang L, Shi J, Wang XW, et al. Curcumin alleviates D-galactose-induced cardiomyocyte senescence by promoting autophagy *via* the SIRT1/AMPK/mTOR pathway [J]. *Evid Based Complement Alternat Med*, 2022, 2022: 2990843.
- [29] Li HJ, Xu JL, Zhang YN, et al. Astragaloside IV alleviates senescence of vascular smooth muscle cells through activating Parkin-mediated mitophagy [J]. *Hum Cell*, 2022, 35(6): 1684-96.
- [30] Li J, Yang DM, Li ZP, et al. PINK1/Parkin-mediated mitophagy in neurodegenerative diseases [J]. *Ageing Res Rev*, 2023, 84: 101817.
- [31] Cao YH, Chen X, Pan FQ, et al. Xinmaikang-mediated mitophagy attenuates atherosclerosis *via* the PINK1/Parkin signaling pathway [J]. *Phytomedicine*, 2023, 119: 154955.
- [32] Zhao XP, Wang Z, Wang LJ, et al. The PINK1/Parkin signaling pathway-mediated mitophagy: a forgotten protagonist in myocardial ischemia/reperfusion injury [J]. *Pharmacol Res*, 2024, 209: 107466.
- [33] He HL, Huang WY, Xiong LD, et al. FUNDC1-mediated mitophagy regulates photodamage independently of the PINK1/Parkin-dependent pathway [J]. *Free Radic Biol Med*, 2024, 225: 630-40.
- [34] Chen CY, Bu XL, Deng LP, et al. Astragaloside IV as a promising therapeutic agent for liver diseases: current landscape and future perspectives [J]. *Front Pharmacol*, 2025, 16: 1574154.
- [35] Liu T, Ai L, Jiang AB, et al. Astragaloside IV suppresses the proliferation and inflammatory response of human epidermal keratinocytes and ameliorates imiquimod-induced psoriasis-like skin damage in mice [J]. *Allergol Immunopathol (Madr)*, 2024, 52(5): 44-50.
- [36] Xia DQ, Li WJ, Tang C, et al. Astragaloside IV, as a potential anticancer agent [J]. *Front Pharmacol*, 2023, 14: 1065505.
- [37] Deng LL. Astragaloside IV as potential antioxidant against diabetic ketoacidosis in juvenile mice through activating JNK/Nrf2 signaling pathway [J]. *Arch Med Res*, 2020, 51(7): 654-63.

(编辑:吴锦雅)